

3-正則, 3-連結, 平面グラフ の H-変形

小室 秀 雄

埼玉県立
(川越南高校)

$\mathcal{G}_n = \{ G \mid G \text{ は, 頂点数 } 2n, \text{ 連結, } 3\text{-正則, ループなし, 多重辺なし} \\ \text{の平面グラフ} \} \quad (n \geq 3)$

に対して, 私は [1]において, "H-変形" という平面グラフの
局所的変形を定義し, \mathcal{G}_n に "H-距離" という距離
を定義した。

本講演では,

$\mathcal{G}_n^{(3)} = \{ G \mid G \text{ は, 頂点数 } 2n, 3\text{-正則, } \underline{3\text{-連結}}, \text{ ループなし,} \\ \text{多重辺なしの平面グラフ} \} \quad (n \geq 3)$

に対して, 同様の事を行なう。

G をグラフとすると, その頂点集合, 辺集合 E , それぞれ $V(G), E(G)$
で表す。頂点 $x \in V(G)$ の次数を $\deg_G x$ であらわし, 任意の
頂点 x について, $\deg_G x = r$ とするグラフを r -正則グラフと
呼ぶ。

定義 1. $(N_G(v), N_G(uv))$

$v \in V(G)$ に対して,

$$N_G(v) := \{ w \in V(G) \mid vw \in E(G) \}$$

$e = uv \in E(G)$ に対して,

$$N_G(e) = N_G(uv) := N_G(u) \cup N_G(v) - \{u, v\}$$

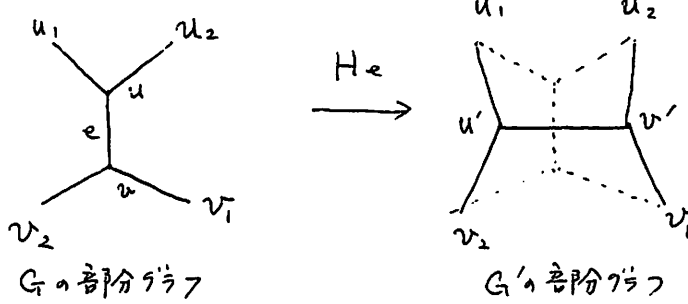
定義 2 (H-変形)

$$G \in \mathcal{G}_n^{(3)}, \quad e = uv \in E(G) \text{ に対して}$$

(42)

辺 e に関する H -変形 $H_e: G \rightarrow G'$ を次のように定義する。

$u, v, u_1, u_2, v_1, v_2 \in V(G)$ に対し。



定義 3 (Good, Bad 辺)

$\mathcal{G}_n^{(3)} \ni G$

$E_H(G) := \{e \mid e \text{ に関して } H\text{-変形可能} \}$ $\ni e$ に対し。

e が Good 辺

$\Leftrightarrow e$ に関する H -変形で得られるグラフ $G' \in \mathcal{G}_n^{(3)}$

Good でない辺を, Bad 辺 と呼ぶ。すなわち, Bad 辺 は, H -変形不可能か, ある時は, H -変形の結果, 3-連結でないグラフを生ずる辺のことである。

1. 標準化定理.

次の補題は, 基本的事実である。

補題 1.

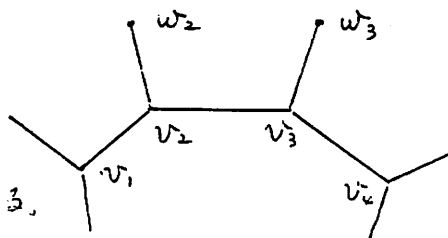
$\mathcal{G}_n^{(3)} \ni G$

G の 1 つの面の周上の連続する 4 頂点 v_1, v_2, v_3, v_4 において, 辺 v_2v_3 が Bad 辺 ならば, 辺 v_1v_2 , 辺 v_3v_4 はともに Good である。

証明

I) $v_2v_3 \notin E_H(G)$.

すなわち, 辺 v_2v_3 に関して H -変形可能でない。

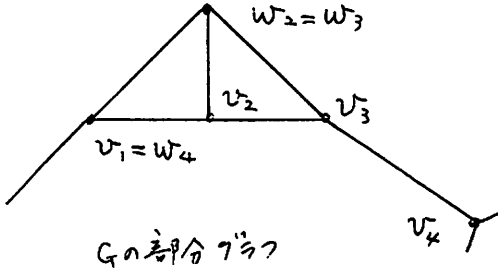
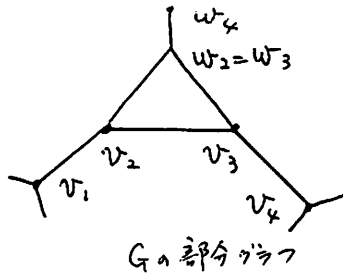


すなわち, $w_2 = w_3$

① 辺 $v_1 v_2$ が, H-変形可能でない。

$v_1 = w_4$.

G は, 3-連結でない。矛盾。

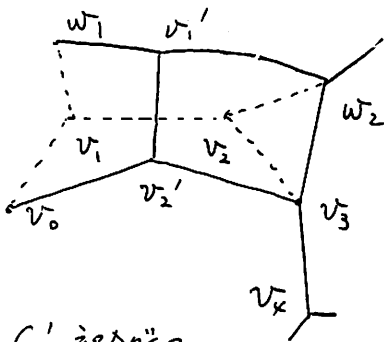


② 辺 $v_1 v_2$ が, H-変形可能でない。

① と同様に, G は, 3-連結でない。矛盾。

③ 辺 $v_1 v_2$, 辺 $v_1 v_2$ と, それに関して H-変形可能である。

1) 辺 $v_1 v_2$ が, good である。すなわち, H-変形してできる graph G' が 3-連結でないとする。



G' に対して, 2-cut C が存在する。
 C は, v_1' か v_2' のどちらか少なくとも
1 辺を含む。

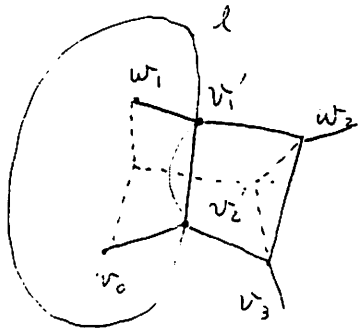
存在ならば, もし, C が v_1', v_2'
ならば, G がすなわち 2-cut C
を併せ, 3-連結でなくなる。

$C \ni v_1'$ ($C \ni v_2'$ も同様)。
の場合を考える。

$C = \{v_1', v_2'\}$ とおく。

i) $v_1' = v_2'$ のとき。

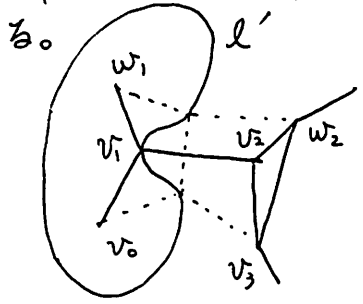
$C = \{v_1', v_2'\}$



G' と, 点 v_1', v_2' のみと交わり
 G' の部分グラフを, 各領域に
含む平面上的単純閉曲線 l
が存在する。

(44)

G に対して、この閉曲線 l を isotopy で変形した閉曲線 l' を考える。

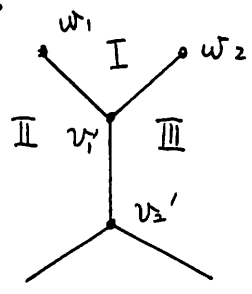


この閉曲線 l' は、 G と 点 v_1 のみと交わる。 G の連結度 ≤ 1 とは、 G が 3-連結 であることは矛盾。

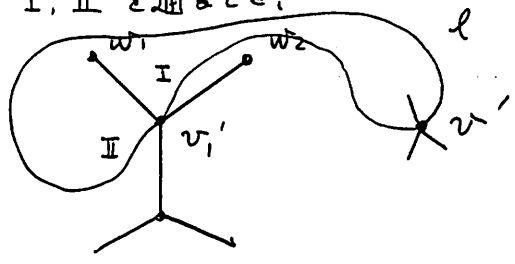
ii) $v' \neq v_2'$ のとき。

$C = \{v_1, v_1'\}$ 。 G' は、点 v_1, v_1' 以外と交わらず それぞれの領域に G の部分グラフを含む平面上の単純閉曲線 l が存在する。点 v_1' の近傍に注目して、点 v_1' を 1 つの頂点とする面を下図のように

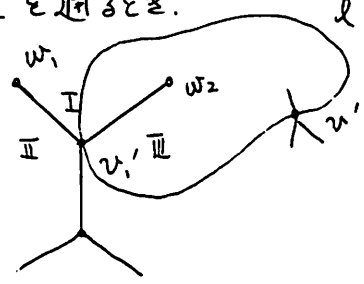
I, II, III とかく



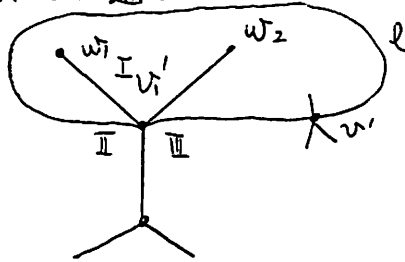
a) l が、面 I, II を通るとき。



b) l が、面 I, III を通るとき。

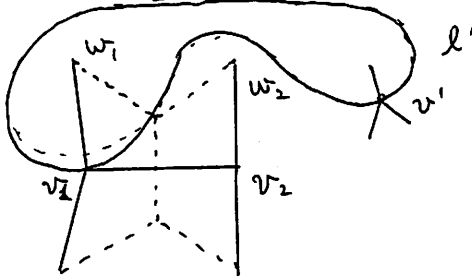


c) l が 面 II, III を通るとき.



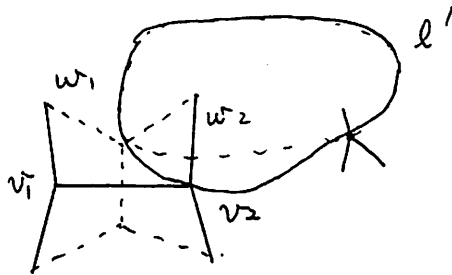
a), b), c) それぞれの場合に, G を考える.

a)



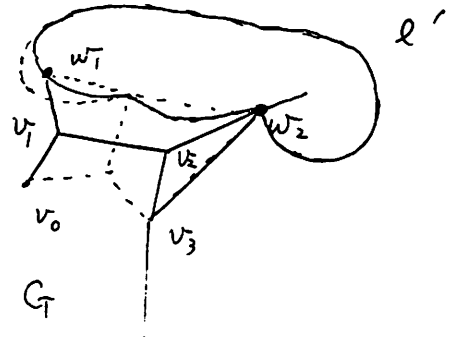
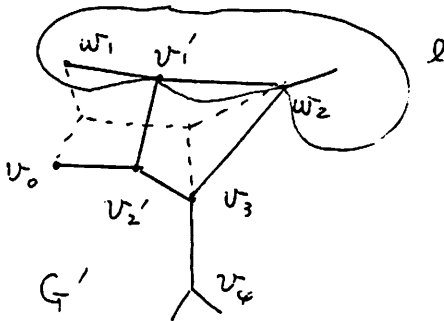
閉曲線 l を, isotopy で変形した閉曲線 l' を考え, この閉曲線 l' は, G と点 v_1, v_1' のみと交わる. 連結度 ≤ 2 となり, G が 3-連結ということに矛盾.

b)

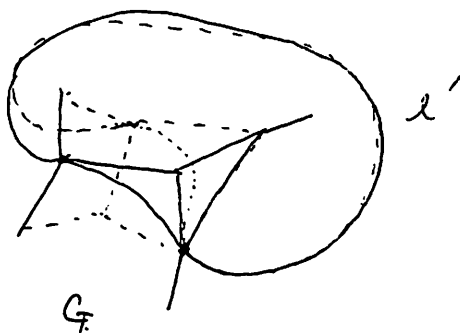
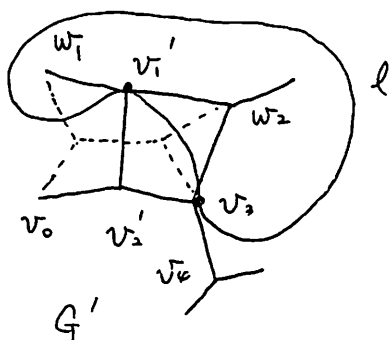


上と同様に, 閉曲線 l' が考えられ, G と点 v_1, v_1' のみと交わる. 連結度 ≤ 2 となり, G が 3-連結ということに矛盾.

c) $v_1' = w_2$ かつ $v_1' = v_3$ ~~をみる~~ ($v_1' = v_2'$ ならば F^2 に考えた.)



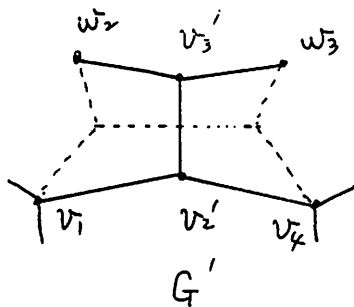
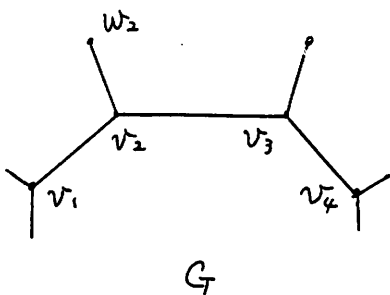
(46)



閉曲線 l を, isotopy で変形した閉曲線 l' を考え,
この閉曲線 l' は, G と 2 点のみと交わる. 連結度 ≤ 2 となり,
 G から 3-連結性ということに矛盾。

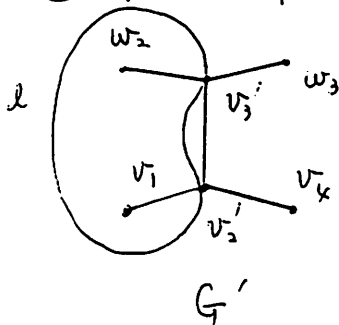
2) v_2, v_4 が, good でないとして, 1) と同様 1-矛盾が導かれる。

II) $v_2, v_3 \in E_H(G)$ で, bad であるとき. すなわち, 辺 v_2, v_3 に対応する H -変形で得る G' は, $G \neq G_n^{(g)}$. すなわち, 3-連結性でないとする。

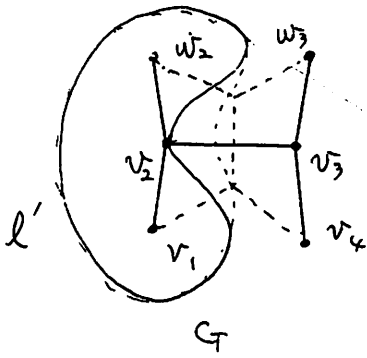


G' は, 2-cut C をもつ. $C \ni v_2'$ or v_3' . 意味なければ,
 G に, 2-cut が存在し, 3-連結性であるということに矛盾。

$C = \{v_2', v_3'\}$ のとき,



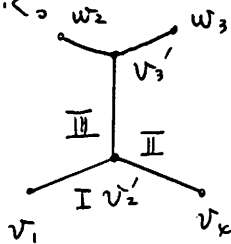
G' と 点 v_2', v_3' のみと交わり
 G' の部分グラフを, 各領域に含んだ
平面上の単純閉曲線 l が
存在する。



G に対して、この閉曲線 l を *isotopy* で変形した閉曲線 l' を考える。この閉曲線 l' は、 G と点 v_2 のみと交わる。連結度 ≤ 1 となり、 G が 3-連結ということに矛盾。

$e = \{v_2', v_3'\}$ ($v_2' \neq v_3'$) ($e = \{v_3', v_4'\}$ ($v_3' \neq v_4'$) のときも同様に)

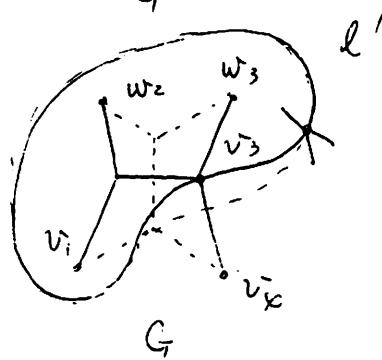
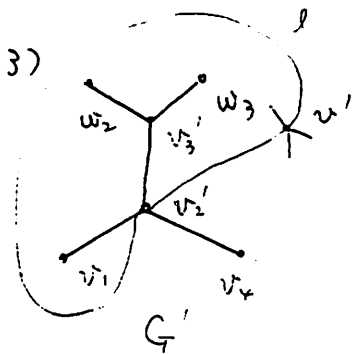
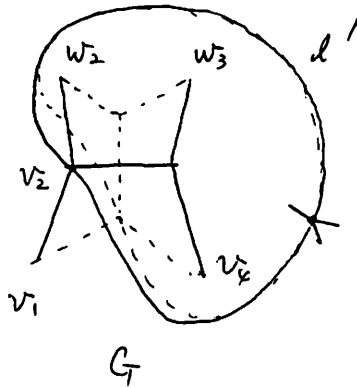
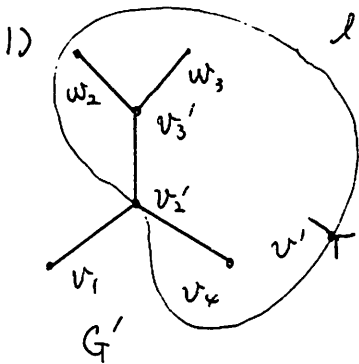
点 v_2' の近傍を考えると、点 v_2' を頂点とする面を、下図のように I, II, III とおく。



点 v_2' を通り、 G' と 2 点のみと交わり、 G' の部分グラフ e 、各領域' に含む平面上の単純閉曲線 l が存在する。

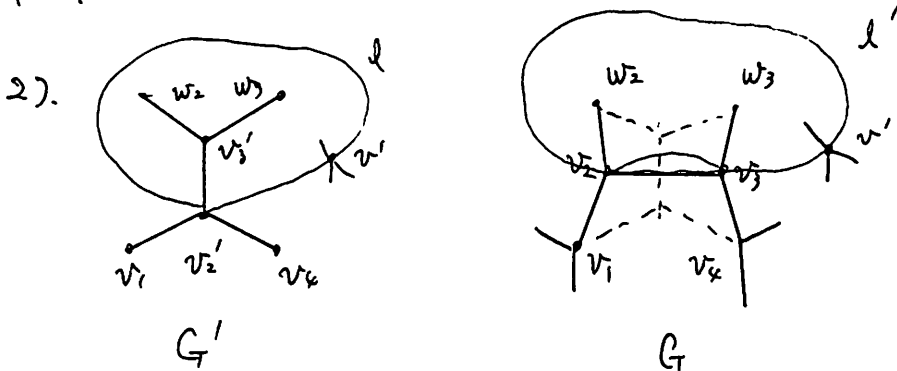
- 1) l が、I, III を通る場合。
- 2) l が、II, III を通る場合。
- 3) l が、I, II を通る場合。

いずれの場合も併せて考える。



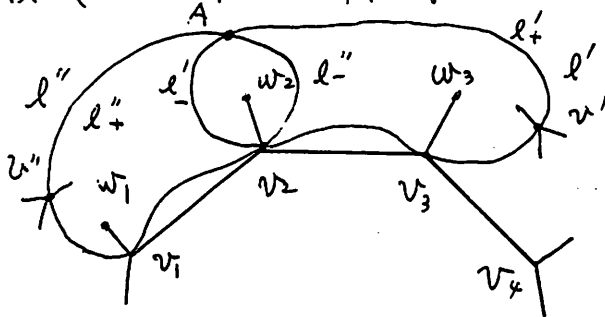
(48)

閉曲線 l を, isotopy が変形した閉曲線 l' を考え,
 この閉曲線 l' は, G と 2 点のみで交わる。連結度 ≤ 2 とし,
 G が, 3-連結ということは矛盾。



この場合, 辺 v_1v_2 , 辺 v_3v_4 のどちらかが bad. ところが,
 辺 v_1v_2 が bad なとして (辺 v_3v_4 が bad なとしても同様)
 矛盾を導く。

今までの議論により, G と 2 点のみで交わり, G の部分グラフ
 を各領域に含む平面上の単純閉曲線 l'' が存在する。



l', l'' の交点を, 点 A とかく。

a) 点 v', v'' とともに点 A と一致しない時,

(l', l'' とともに点 A , v_2 を除いて 2 通りの連結成分を上図の
 ように l'_+, l'_-, l''_+, l''_- とかく)

$l'_+ \ni v', l''_+ \ni v''$ のとき, $l'_- \cup l''_- \cup \{A, v_2\}$

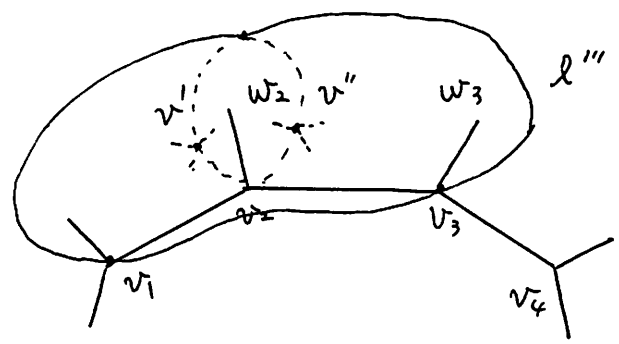
$l'_+ \ni v', l''_- \ni v''$ のとき, $l'_- \cup l''_+ \cup \{A, v_2\}$

$l'_- \ni v', l''_+ \ni v''$ のとき, $l'_+ \cup l''_- \cup \{A, v_2\}$

$l'_- \ni v', l''_- \ni v''$ のとき, $l'_+ \cup l''_+ \cup \{A, v_2\}$

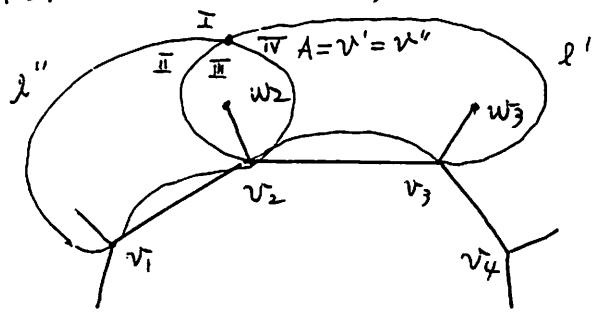
これを isotopy で変形し, 点 v_2 を
 通らないように閉曲線 l'' を考える

と

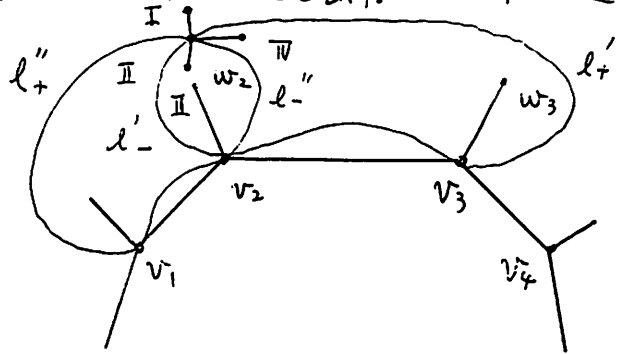


この閉曲線も、 G とは、2点以下で交わり、 G の部分グラフを各領域に含む平面上的単純閉曲線である。
 G が3-連結であることに矛盾する。

b). v' または v'' が A と一致するとき、(この時他方も A と一致する。
 すなわち、 $v' = v'' = A$ のとき)



点 A の近傍において、点 A を頂点とする領域を上図のように、
 I, II, III, IVと名く。 G は、3-正則グラフだから、4つのI, II, III, IV
 の領域のうち、3つに辺を出す。たとえば、I, III, IV



$l' \cup l'' \cup \{A, v_2\}$ を考えて、isotopyで少し動かすと、
 G は1点のみで交わり、 G を2つの部分に分ける単純閉曲線
 が得られる。 G が3-連結であることに矛盾する。

(50)

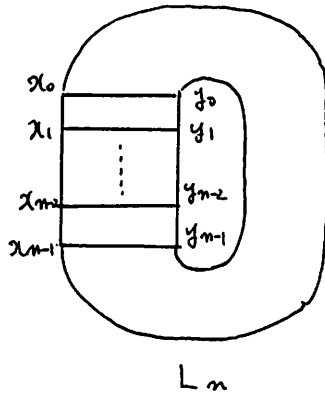
定義4

$L_n \in \mathcal{Y}_n^{(3)}$ について.

L_n : 梯形グラフ

$$\Leftrightarrow V(L_n) = \{x_i, y_i \mid 0 \leq i \leq n-1\}$$

$$E(L_n) = \{x_i y_i, x_i x_{i+1}, y_i y_{i+1} \mid 0 \leq i \leq n-1, \text{添字は mod } n\}$$



\tilde{L}_n : 梯形. $\Leftrightarrow \tilde{L}_n$ は, L_n から辺 $x_0 x_{n-1}$, 辺 $y_0 y_{n-1}$ を除いたグラフ
 この \tilde{L}_n を, $x_0 x_1 \dots x_{n-1} y_{n-1} y_{n-2} \dots y_0$ と表現する.

定理1 (標準化定理)

$G \in \mathcal{Y}_n^{(3)}$ に対して, G は, $\mathcal{Y}_n^{(3)}$ の中で, H -変形により,
 梯形 L_n ($\mathcal{Y}_n^{(3)}$ の標準形) に変形できる.

証明

v : G の頂点数, e : G の辺数, f : G の面数とおく.
 オイラーの公式 $v - e + f = 2$ が成り立つ.

この式を変形して.

p_i : G の i 角形の個数とおく.

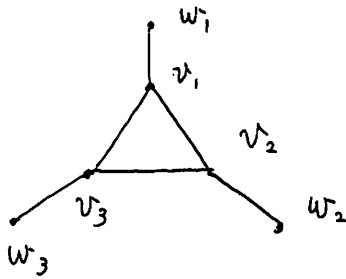
$$\sum_{i=3}^n (6-i) p_i = 12$$

すなわち.

$$3p_3 + 2p_4 + p_5 - (p_6 + \dots + (n-6)p_n) = 12 \dots \textcircled{1}$$

①より、 P_3, P_4, P_5 どれか少なくとも一つは正である。従って、
 G に 4 角形が n 個あるならば、3 角形または 5 角形が n 、少なくとも一つある。
 G に 4 角形の面が n 個あるならば、その 4 角形を x_0, x_1, y_1, y_0 とする。
 ならば、3 角形または 5 角形の面 R_1 に注目する。

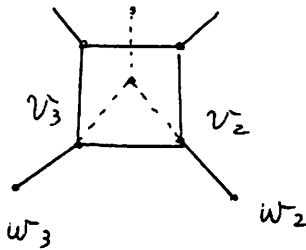
$R_1 = 3$ 角形の場合



この 3 角形を v_1, v_2, v_3 とし、各頂点 v_1, v_2, v_3 に対して隣接する辺を w_1, w_2, w_3 とする。

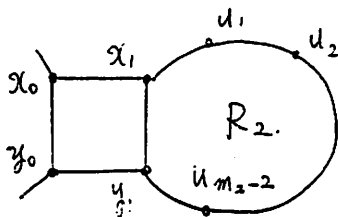
辺 w_2, v_2 について H -変形を行えば、4 角形が $n+1$ 個ある。

仮定ならば、辺 w_1, v_1 について



$R_1 = 5$ 角形の場合。補題 1 により、3-連結性をくずさずに R_1 の辺の数を、1 つ減らせる。

$R_1 = 3$ 角形、5 角形ともに、 G からこの変形によって得たグラフを G_1 とする。この 4 角形を x_0, x_1, y_1, y_0 とおく。

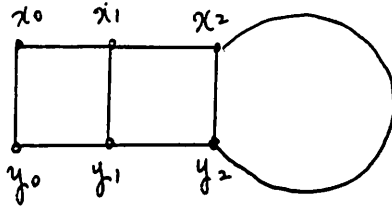


この 4 角形と辺 x_1, y_1 を共有する面を R_2 とおく。 $R_2 = x_1, u_1, u_2, \dots, u_{m_2-2}, y_1$ とおく。 R_2 は高々 $2m_2 - 2$ 角形である。すなわち、 $m_2 \leq 2m_1 - 2$ 。

(52)

$m_2=4$ の時、すなわち、 R_2 が4角形の時、 H -変形を行なわない。
 $u_1=x_2, u_2=y_2$ と置く。

$m_2 \geq 5$ の時、補題1より、 R_2 の周上に辺 $x_1y_1, x_1u_1, u_{m_2-2}y_1$ 以外の Good な辺も存在する。その辺に関して H -変形を施す。1つ辺数の減った面も R_2 と呼ぶ。 R_2 が4角形になるまで、この操作を繰り返す。4角形を $x_1x_2y_2y_1$ と置く。

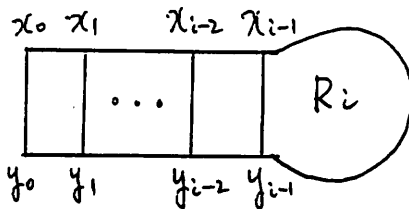


4角形にするまでに必要な H -変形の回数は、 m_2-4 回である。

グラフ G_2 は、梯形 $x_0x_1x_2y_2y_1y_0$ を含む。

以下この操作をくり返す。

グラフ G_{i-1} から $\tilde{L}_i = x_0x_1 \dots x_{i-1}y_{i-1} \dots y_0$ を含むまで変形を行なわれたとする。4角形 $x_{i-2}x_{i-1}y_{i-1}y_{i-2}$ と辺 $x_{i-1}y_{i-1}$ を共有する面を R_i とする。 $R_i = x_{i-1}u_1^{(i)} \dots u_{m_i-2}^{(i)}y_{i-1}$ と置く。



R_i は高さ $2m-2(i-1)$ 角形である。すなわち、 $m_i \leq 2m-2i+2$ 。

$m_i=4$ 。すなわち、 R_i が4角形の時、変形を行なわない。

$u_1^{(i)}=x_i, u_2^{(i)}=y_i$ と置く。

$m_i \geq 5$ の時、補題1より、 R_i の周上に辺 $x_{i-1}y_{i-1}, x_{i-1}u_1^{(i)}, u_{m_i-2}^{(i)}y_{i-1}$ 以外の Good な辺も存在する。その辺に関して、 H -変形を施す。1つ辺数の減った面も R_i と呼ぶ。 R_i が4角形になるまで、この操作を繰り返す。できた4角形を $x_{i-1}y_{i-1}y_iy_{i-1}$ と置く。4角形にするまでに必要な H -変形の回数は、 m_i-4 回である。

距離の対称性。次定理由成り立つ。

距離 $d(G, G')$ の定義は、次の距離が定義される。 $G, G' \in \mathcal{G}_m^{(3)}$ に対して、
 $d(G, G') := G \in \mathcal{G}_m^{(3)}$ の中で G' に変形する n に必要なる H -変形の最小回数。
 この距離は H -距離である。 $\mathcal{G}_m^{(3)}$ の直径は $\max d(G, G')$ である。

2. H-距離

例 1. $\mathcal{G}_m^{(3)} \ni G, G'$ に対して、
 G は $\mathcal{G}_m^{(3)}$ の中で、 G' に変形される。

$$\begin{aligned}
 & \leq 1 + (2m-2-4) + \dots + (2m-2i-1) - 4 + \dots + (2m-2(m-2)-4) \\
 & = 1 + \sum_{i=2}^{m-1} (2m-2(i-1)-4) \\
 & = 1 + \sum_{i=1}^{m-2} (2m-2i-4) \\
 & = 1 + 2m(m-2) - 2 \cdot \frac{(m-2)(m-1)}{2} - 4(m-2) \\
 & = m^2 - 5m + 1
 \end{aligned}$$

G_i は $\mathcal{G}_m^{(3)}$ の変形である。 $G_i \in \mathcal{G}_m^{(3)}$ かつ $G_i \in \mathcal{G}_m^{(3)}$ である。 G_i は $\mathcal{G}_m^{(3)}$ の中で、 G_i に変形する n に必要なる H -変形の回数である。 G_i は $\mathcal{G}_m^{(3)}$ の中で、 G_i に変形する n に必要なる H -変形の回数である。 G_i は $\mathcal{G}_m^{(3)}$ の中で、 G_i に変形する n に必要なる H -変形の回数である。

(54)

定理 2

$D(\mathcal{Y}_n^{(3)})$: H-距離に同値直径

$$D(\mathcal{Y}_n^{(3)}) \leq 2(n^2 - 5n + 7) \quad (n \geq 3)$$

証明

$G, G' \in \mathcal{Y}_n^{(3)}$ に対し, 梯形グラフ L_n を考えると,

$$\begin{aligned} d(G, G') &\leq d(G, L_n) + d(G', L_n) \\ &\leq 2(n^2 - 5n + 7) \quad (\text{定理 1 より}) \end{aligned}$$

Reference

- [1] H. Komuro : 3-正則グラフの集合の距離づけ
箱根セミナー記録 '91. p21 ~ p31